

Werk

Label: Other

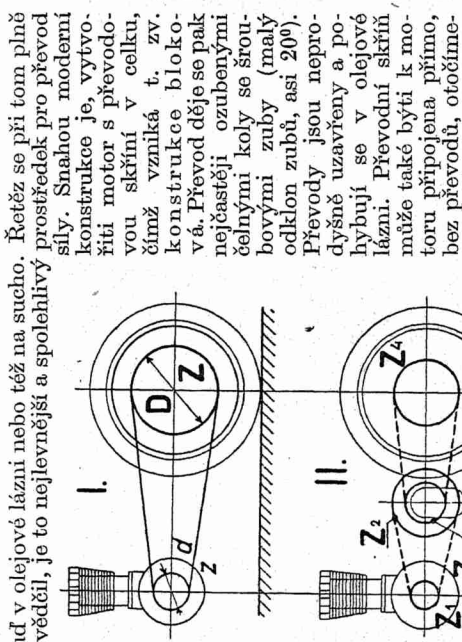
Jahr: 1933

PURL: https://resolver.sub.uni-goettingen.de/purl?31311028X_0062|log111

Kontakt/Contact

Digizeitschriften e.V.
SUB Göttingen
Platz der Göttinger Sieben 1
37073 Göttingen

✉ info@digizeitschriften.de



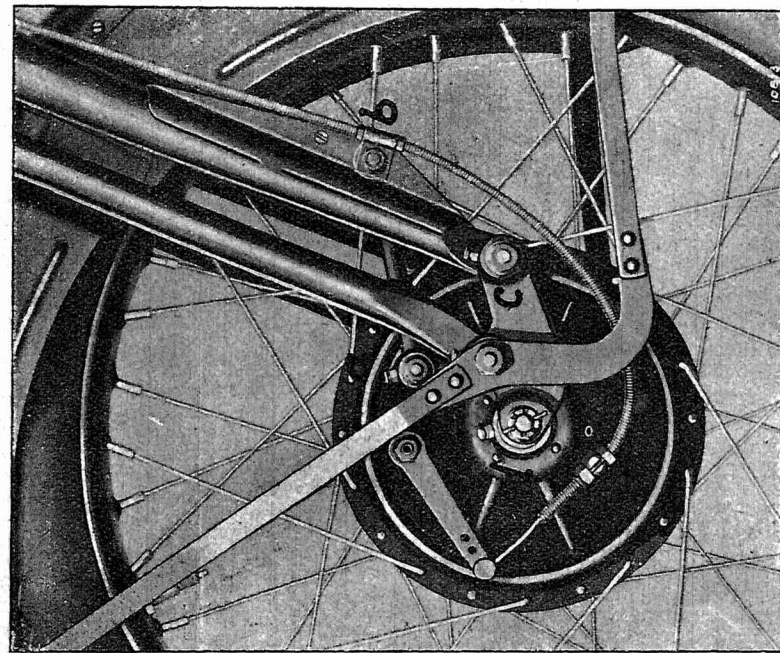
Obr. 14. Převody od motoru na zadní kolo.

I.

Přímý převod řemenem, dnes nepoužívaný, daný poměrem $D:d$ nebo $Z:z$.

II.

Převod dvěma řetězy, dnes nejčastěji používaný (primární a sekundární). Uprostřed převodového skříně. Číslo převodu $\varphi = \frac{Z_1 \cdot Z_3}{Z_2 \cdot Z_4} \cdot Z =$ počet zubů příslušného kola.



Obr. 22. Brzda předního kola motocyklu Harley-Davidson.
Brzdové dobely rostou se čtvrtvrcem rychlosti, při dvojnásobné rychlosti jsou čtyřikrát větší, a proto věnuje se brzdam při konstrukci velká pozornost. Podle toho začítaví se svou při rychlosti 120 km/hod. v nejlepším případě teprve na

— 24 —

bud' v olejové lázni nebo též na sucho. Řetěz se při tom plně osvědčil, je to nejlevnější a spolehlivý prostředek pro převod síly. Snahou moderní konstrukce je, vytvořit motor s převodovou skříní v celku, čímž vzniká t. zv. konstrukce blokova. Převod děje se pak nejčastěji ozubenými dělnými koly se šroubovými zuby (malý odklon zubů, asi 20°). Převody jsou neprodáně uzavřeny a pohybují se v olejové lázni. Převodní skřín může také být k motoru připojena přímo, bez převodu, otočmeli osu hřidele motoru kolem svršnice tak, aby ležela v rovině rámu motocyklu; primární převod děje se pak kuželovými koly.

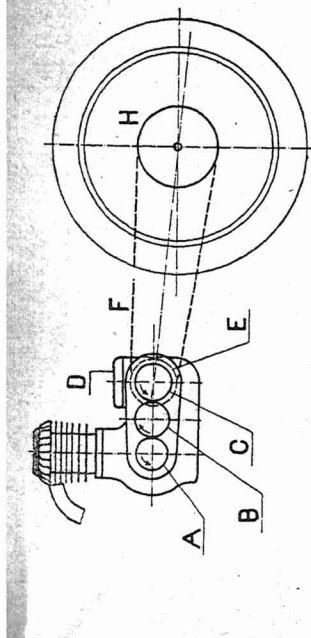
V nejnovější době konají se úspěšné zkoušky s dvojitými řetězy o malé rozteči, které běží velmi tiše, tisíci než známý ozubený řetěz Renoldův, a mají většou účinnost. Bezpečí tento řetěz v oleji, nepotřebuje ani po delší době napinání.

Poněvadž v primárném převodu mohou povstati vlivem rozmanitých okolností veliké nárazky, které zvyšují namáhání dál a působí nepřijemně při jízdě, vkládá

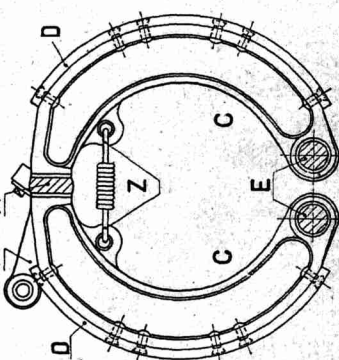
— 17 —

z tříčich lámel podobně jako tlumidlo Hartfordovo. Užívá se tříčidlo k řízení rukoujeti v řídítce.

Na řídítkách jsou t. zv. kontroly, t. j. zařízení, kterými se ovládá stroj. Jsou tam v prve řadě organy pro regulaci karburátoru a zapalování. Rychlosť rozjetého stroje reguluje výhradně skřítem zařízením v karburátoru, tedy množstvím směsi; složení směsi se udržuje samozámně stále stejně, neboť všechny moderní motocykly mají t.zv. samočinné karburátory. U některých bývá uspořádána korekční páka ke změně složení směsi v určitých mezech, ale této páky používá se hlavně při spouštění motoru. Na řídítkách bývá dále páka spojky, dekompressoru a páka brzdy, působící na přední kolo. U amerických strojů ovládá se spojka pedalem a dekompressor redukuje se na malou páku na motoru.

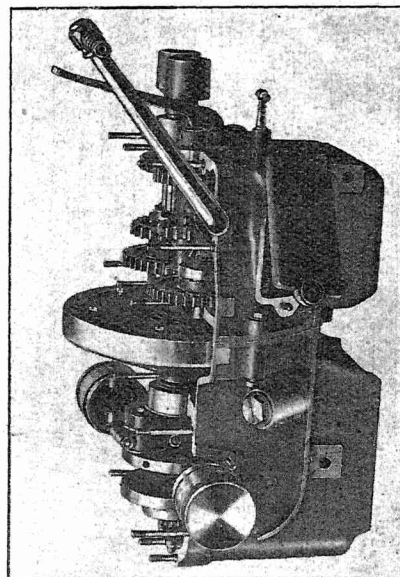


Obr. 15. Primární převod s ozubenými koly (bloková konstrukce). *A* = pastorek motoru (hnací), *B* = vložené kolo, *C* = hnací kolo spojky, *D* = řetězový pastorek sekundárního převodu, *E* = řetěz, *F* = řetězové kolo zadní osy.



Obr. 21. Čelisti rozprinací brzdy. *C* = pravá a levá čelist brzdy, *D* = obložení čelisti z třecí hmoty, *E* = klobouky čelistí, *H* = palec klobže brzdy, *P* = páka klíče, *Z* = zpružina, stahující čelisti k sobě. Čelisti jsou uloženy uvnitř bubnu brzdy.

Dnes mají všechny motocykly brzdy na obou kolech, neboť při vývoji moderních motorů je to vše nevyhnutelné nutné. Brzdy jsou skoro výhradně čelistové, rozpinací, čelisti jsou obloženy třecí hmotou „ferrodo“. Brzda zadního kola ještě ovládána pádem, předního pádkou od řídítka, někdy také samostatným pedálem. U některých strojů vidíme brzdy kol vzájemně spojené využíváním zařízení, takže při stlačení pedálu brzdí se obě kola současně. Tyto brzdy jsou zvlášť energické a je možno jimi zastavit stroj při rychlosti 40 km/hod. na vzdálenost 8 m.



Obr. 16. Motor typu „flat twin“, konstruovaný v bloku s převodovou skříňí, částečně odkrytý (B. M. W.)

Vypružení předního kola děje se na plachými nebo šroubovými zpružinami, a aby se zabránilo otřesům, připojuje se k rámu vždy tlumičko otřesů, nejčastěji frikční, podle principu Hartfordova. V podstatě je to zavěšení mechanického třeně do pohybu; tím přivede se velmi brzo tlumitelný výkyv.

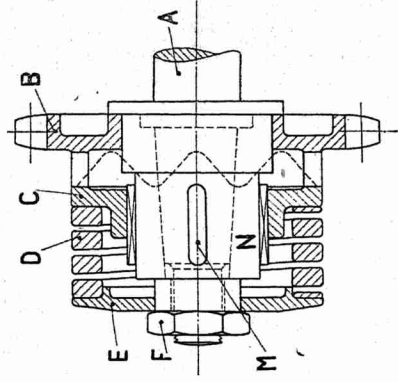
Rovněž řízení musí být tlumeno, zejména u rychlých sportovních strojů. Při rychlejší jízdě na špatnějších silnicích můžeme totiž pozorovat kívání řidítka (kola) na obě strany, a toto kívání se může samočinně zvětšit tak,

se do něho často i, zv. tlumičlo nárazu (shockabsorber). Hnací kolo motoru nebo hnané kolo spojky nespojí se totiž s hřidelem pevně, nýbrž pružně. Nekterá z těchto tlumidel jsou tak zařízena, že dovolí i mnohonásobné přefotocení nebo přestakují, když se motor z nějaké příčiny zablokuje. Tím zabraňí se poškození motoru nebo se zamezí nebezpečný smyk.

Sekundární převod děje se obvykle valemkovým řetězem o větší rozteci ($\frac{5}{8}$). Tento řetěz má poměrně malou obvodovou rychlosť, běží ve většině připádu v prachu a blátě, a proto jeho trvanlivost je poměrně malá.

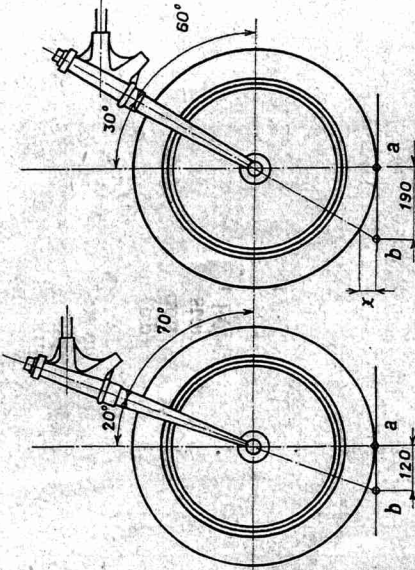
Jeho zakrytí a uložení do olejové lázně lze provést dosti obtížně. Proto v novější době vidíme snahu, nahradit tento řetěz hřidelem s pružnými kloby, tak jako u převodu kardanem; na zadní osu je větší kruzelové kolo obvykle se šroubovými zubými, frézovanými na spec. strojích "Gleason". Jindy nahrazi jí se kruzelová kola soukolím šroubovým. Obě soukoly musí běžet v oleji.

Velké nároky jsou kladený na rám motora, B = hřídel možná-li se přes jistou míru, M , D = zpružina, B = opěra, zpružiny, F = matka. Při nárazech v řetězu pokluzuje posobě po vnitřné ploše díly C a B . Vahou, musí vytvořit je konstrukčně omezen "speed wobble". Hlavně závodníkám. Zjistilo se, že kívání má svou kritickou rychlosť, která souvisí do značné míry s rychlosťí stroje. Proto musí být řízení u velmi rychlých strojů tak řešeno, aby kritický stav děl se při nízkých rychlých strojů tak řešeno, aby kritický stav děl se při nízkých rychlostech. Tlument těchto výkyvů děle se frikčním tlumidlem Andreovým, které je složeno



Obr. 17. Tlumičlo nárazu v primárním převodu. A = hřídel motoru, B = řetězový pastorek (bez klimu), C = tlacičko s vlnitým okrajem, D = zpružina, E = stopa, F = matka, G = unášené kliny, H , I = pastorku, J = opěra, zpružiny, K = matka. Při nárazech v řetězu pokluzuje posobě po vnitřné ploše díly C a B . Obě soukoly musí běžet v oleji.

— 19 —



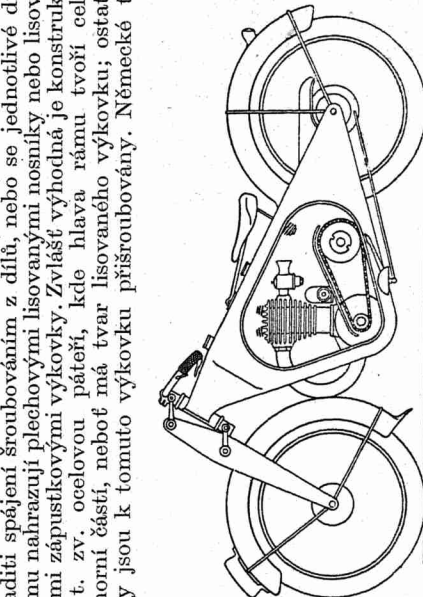
Obr. 20. Úhel řízení a t. zv. „stopa“. a = stopa.
žo je tím řízení a stabilita stroje ohrožena. Doba kyvů je asi $\frac{1}{2}$ až $\frac{1}{6}$ vteřiny. Stane-li se toto kívání v zatačce a zvětší-li se přes jistou míru, vede určitě k pádu, ale může mít tento důsledek i na rovině. Zleva tento je znám pod anglickým názvem „speed wobble“. Hlavně závodníkám. Zjistilo se, že kívání má svou kritickou rychlosť, která souvisí do značné míry s rychlosťí stroje. Proto musí být řízení u velmi rychlých strojů tak řešeno, aby kritický stav děl se při nízkých rychlých strojů tak řešeno, aby kritický stav děl se při nízkých rychlostech. Tlument těchto výkyvů děle se frikčním tlumidlem Andreovým, které je složeno

— 22 —

dodržené průměry. Spojení dílů se spojkami (fittings), zhotovenými obyčejně z ocelových výkovků, v méně častějších případech z tempertonané litiny. Velkou nevhodností je nutnost spájení těchto dílů mosazí. Tím se zhoršuje jakost materiálu trubek, zavádí se do celé soustavy napětí, a rám se musí vždy dodatečně rovnat. Aby se výroba tomu vyhnula, hledí se na hradití spájení šroubováním z dílů, nebo se jednotlivé díly rámu nahrazují plechovými lisovanými nosníky nebo lisovánými zápusťkovými výkovky. Zvláště vhodná je konstrukce s t. zv. ocelovou patěří, kde hlava rámu tvoří celek s horní částí, neboť má tvar lisovaného výkovku; ostatní díly jsou k tomuto výkovku přisrovnovány. Německé to-

hmoty. Proto jsou americké vidlice výhodnější, ale i u anglických vidlic dosahuje se dobrý výsledek.

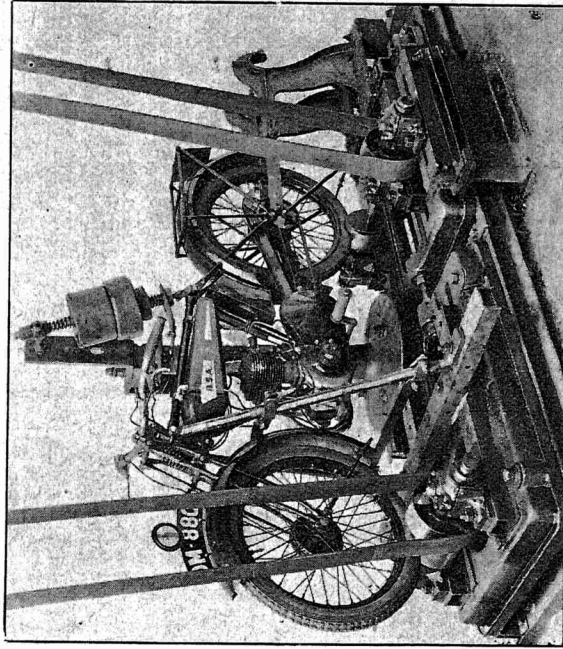
Osa řízení je skloněna a svírá s osou svislou určitý úhel, který musí být vhodně volen. Je-li příliš malý, činné řízení při větších rychlostech na rovině obtížné, je-li veliký, ztrácí se



Obr. 18. Motocykl s plechovým lisovaným rámem (belgický La Mondiale).

várný používají často rámu, složených z plechových nosníků, jež jsou lisovány podobně jako nosníky automobilů; jednotlivé části jsou k sobě autogenně přivařeny.

Rámová hlava má řízení, spojene s přední vidlicí, do níž je zavěšeno přední kolo. Vidlice musí mít náležité pružení, musí být pevná a lehká. Nahore jsou k ní připojená řídítka. Konstrukce přední vidlice je dvojí: 1. anglická, kde tvoří nosník vidlice tuhou soustavu, zavěšenou na vahadlech na ose řízení; 2. americká, která má hlavní tuhou vidici nosnou a k ni vahadlem připojené kolo, připojené na vypružovací soustavu. Při úpravě vypružení musí být smalou dosáženou pokud možno malé nevypružené



Obr. 19. Stroj na zkoušení rámu motocyklů v továrně „B. S. A.“ v Anglii. Motoцикл spočívá oběma kolys na otáčejících se paltech, takže je silnými nárazy vyrhazován do výše. Rám je zatížen závažím, se řízení v zatačkách. Další důležitá hodnota je t. zv. stopa. Je to vzdálenost mezi dotykovým bodem kola s půdou a průsečkem prodloužené osy řízení s půdou. Velikost stopy bývá 25 až 80 mm; volba řídi se mnoha okolnostmi a bývá spojena vždy s volbou tlaku řízení.

Nyní spočteme napětí vznikající v mřížkové cívce. Uvažme, že podle zákona Faradayova indukovaná elektromotorická síla se rovná změně indukčního toku plochou vodiče za časovou jednotku; jsou-li tedy obě cívky — anodová i mřížková — shodné, platí

$$e_g = e_{g_1} + e_{g_2}.$$

Prvé napětí vzniká v důsledku pohybu ladičky, druhé v důsledku změny anodového proudu, neboť obě cívky jsou vázány prostřednictvím jádra. Vzhledem k orientaci mřížkové cívky platí

$$\begin{aligned} e_{g_1} &= 2N \frac{d}{dt} \left(\frac{4\pi NI_a}{l-x + \frac{x}{p}} \right) = 2N \frac{d}{dt} \left(\frac{4\pi Ni_0}{l-x + \frac{x}{p}} \right) = \\ &= 2 \cdot 4\pi N^2 i_0 p \frac{d}{dt} \left(\frac{1}{\frac{l-x}{\mu} + x} \right) \\ e_{g_1} &= -2 \cdot 4\pi N^2 i_0 p \frac{1}{\left(\frac{l-x}{\mu} + x \right)^2} \cdot \left(-\frac{1}{\mu} + 1 \right) \frac{dx}{dt} \\ e_{g_1} &= -2 \frac{4\pi Ni_0}{\frac{l-x}{\mu} + x} \cdot \frac{N}{\frac{l-x}{\mu} + \frac{x}{p}} \cdot \frac{dx}{dt} \left(1 - \frac{1}{\mu} \right). \end{aligned}$$

Označíme-li $\frac{dx}{dt} = v$ a uvážíme-li, že μ železa je velmi velké, platí

$$e_{g_1} = -Av = -\frac{A^2}{\emptyset_m} i_a. \quad (3)$$

Dále

$$e_{g_2} = j\omega L_{12} i_a. \quad (3')$$

Tedy

$$e_g = -\left(\frac{A^2}{\emptyset_m} - j\omega L_{12} \right) i_a.$$

Na mřížku vkládáme záporné předpětí, takže mřížkovým kruhem neteče proud. Pro celkovou impedanci v anodovém kruhu tudíž platí

$$\Re'_a = \Re_a + \frac{A^2}{\emptyset_m} = \Re_a + \Re_m,$$

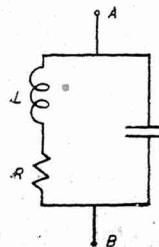
kdež \Re_a je vlastní elektrická impedance kruhu (ohmický odpor, ztráty v jádře, samoindukce), \Re_m značí ztráty v důsledku mechanických kmitů ladičky:

$$\Re_m = \frac{A^2}{r + j\left(\omega m - \frac{S}{\omega}\right)}. \quad (4)$$

Náhradní schema pro \Re_m : Uvažujme kruh obr. 2. Platí

$$\Re_{A,B} = \frac{R + j\omega L}{j\omega C \left[R + j\left(\omega L - \frac{1}{\omega C}\right) \right]}.$$

Je-li $R \ll \omega L$, plyně

$$\Re_{A,B} = \frac{L}{C \left[R + j\left(\omega L - \frac{1}{\omega C}\right) \right]}. \quad (5)$$


Srovnáním výrazů (5) a (4) plyně, že jsou oba ekvivalentní, když

$$R = \frac{rA^2}{mS}, \quad L = \frac{A^2}{S}, \quad C = \frac{m}{A^2}.$$

Obr. 2 podává tedy náhradní schema ladičky v uvažovaném případě.

Určení frekvence generátoru. Přivádíme-li na mřížku triody střídavé napětí e_g , působí elektronová lampa v anodovém kruhu jako generátor elektromotorické síly $e = \frac{e_g}{D}$ a vnitřního odporu $R_i = \frac{1}{SD}$, který pracuje na vnějším odporu \Re'_a . S, D, R_i jsou známé konstanty elektronové lampy, splňující vztah Barkhausenův. Podle rovnice Helmholtzovy platí

$$\frac{e_g}{D} = -\frac{1}{D} \left(\frac{A^2}{\Im_m} - j\omega L_{12} \right) i_a = -i_a \left(R_i + \Re_a + \frac{A^2}{\Im_m} \right). \quad (6)$$

Výraz (6) upravíme na tvar

$$\frac{A^2}{\Im_m} = \frac{R_i + \Re_a + \frac{j\omega L_{12}}{D}}{\frac{1}{D} - 1}. \quad (7)$$

Porovnáme-li imaginární části na obou stranách, obdržíme

$$\omega r L'_a + \left(\omega m - \frac{S}{\omega} \right) (R_i + R_a) = 0,$$

kde

$$L'_a = L_a + \frac{L_{12}}{D}.$$

Odtud

$$\omega = \sqrt{\frac{S}{m + rL'_a}} \doteq \omega_0 \left(1 - \frac{A_m}{2A_a}\right), \quad (8)$$

kdež

$$A_m = \frac{r}{2m}, \quad A_a = \frac{R_i + R_a}{2L'_a} \text{ a } \omega_0 = \sqrt{\frac{S}{m}}.$$

Srovnáním reálných částí plyne

$$\frac{A^2}{r} = \frac{R_i + R_a}{\frac{1}{D} - 1} \left[1 + \left(\frac{\omega L'_a}{R_i + R_a} \right)^2 \right]. \quad (9)$$



1 2 3 4 5
Obr. 3. Oscilogramy napětí ladičkového generátoru.

1. Ladička $f = 1000$ hertzů; $I_{mg} = 42$ mA, $e_g = -14,6$ v.
2. Ladička $f = 435$ hertzů; $I_{mg} = 80$ mA, $e_g = -12,8$ v.
3. Ladička $f = 1000$ hertzů; $I_{mg} = 47,6$ mA, $e_g = -14,6$ v.
4. Ladička $f = 730$ hertzů; $I_{mg} = 90$ mA, $e_g = -29,2$ v.
5. Ladička $f = 730$ hertzů; $I_{mg} = 20$ mA, $e_g = -24,5$ v.

Myslíme-li si, že L'_a je konstantní a $R_i + R_a$ proměnné, má výraz A^2/r minimum, když

$$R_i + R_a = \omega L'_a;$$

pak

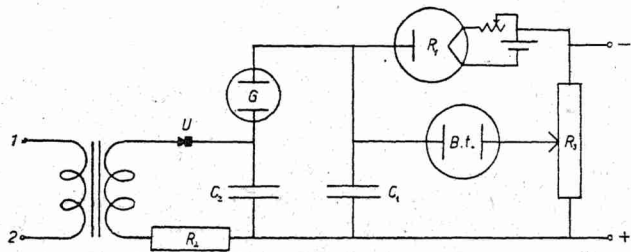
$$\left(\frac{A^2}{r} \right)_{\min} = \frac{2(R_i + R_a)}{\frac{1}{D} - 1} = \frac{2\omega L'_a}{\frac{1}{D} - 1}.$$

Je-li $A_a \gg A_m$, je podle (8) frekvence generátoru blízko frekvence ladičky. Velký vzrůst odporu v anodovém kruhu zmenšuje podle (9) silový faktor A . Právě proto používají pro vysílání komorního a zesilovače, kde pomocí ladičky jsou vázány mřížka prvé lampy a anodový kruh druhé lampy. Výhodné je pro účely praktika upravit ladičku v generátoru tak, aby výsledný tón generátoru byl znám (na př. ladíme ladičku generátoru srovnáváním metodou rázů výsledného tónu s tónem normálním).

Jak byly získány oscilogramy. Připojené oscilogramy (obr. 3) byly získány pomocí známé Braunovy trubice. Elektrony, vysílané žhoucí katodou, jsou vrhány podél osy válcovité anody; procházejí polem dvou deskových kondensátorů, jejichž pole jsou

R 90

navzájem a ke směru pohybu elektronů kolmá; konečně dospívají k fluorescenčnímu stinítku. Nejsou-li kondensátory nabity, objeví se na stinítku světlý bod, který se změní v přímku, vložíme-li na jeden z kondensátorů střídavé napětí, na př. napětí, které chceme analysovat. Vložíme-li také na druhý kondensátor napětí, které ale bude stoupati lineárně s časem a pak téměř okamžitě klesne na nulu — což se bude dít ve frekvenci, jejímž násobkem je frekvence analysovaného napětí — provedli jsme časové rozvinutí krivky daného napětí. Poměrně jednoduché, třebas ne docela přesné, je uspořádání používající doutnavé lampy, patrné z obr. 4 (ETZ 52, 78, 1931). U je usměrňovač, $R_2 = 50.000 \Omega$, R_3 je poten-



Obr. 4.

ciometr 2000—4000 Ω , $C_1 \doteq 3000$ cm, $C_2 \doteq 10.000$ cm, R_1 je proměnný odpor, realisovaný diodou s wolframovým vláknem; pracuje se v oboru nasyceného proudu. *B. t.* je jedna dvojice desek kondensátoru Braunovy trubice (pro rozvíjení křivky podél časové osy). Kondensátor C_1 se nabíjí přes diodu, neboť doutnavá lampa představuje prakticky nekonečně velký odpor. Nabíjecí proud kondensátoru $i = C \frac{de}{dt}$ je konstantní a tedy napětí $e = It/C$ stoupá úměrně s časem. Dostoupí-li napětí na kondensátoru C_1 hodnoty zažíhacího napětí doutnavé lampy, vybije se kondensátor C_1 velmi rychle přes tuto lampu. Klesne-li napětí na kondensátoru pod hodnotu zhášecího napětí, počne se kondensátor C_1 opět nabíjet a děj se opakuje. Celé zařízení se opírá o fakt, že doutnavá lampa se zažíhá při vyšším napětí, než při kterém výboj v ní ustane. Analysované napětí se vkládá jednak na jednu dvojici desek Braunovy trubice, jednak na svorky 1, 2, aby se dosáhlo trvalé synchronisace. Že synchronisace je dobrá, je patrné z obr. 3, kde expoziční doba oscilogramů byla asi $1\frac{1}{2}$ až 2 minuty.

Přístupné prameny: Jhb. d. d. Tel. 32, 116; 1928. Phys. Rev. 17, 535; 1921. Proc. Phys. Soc. 38, 24; 1925. Proc. Royal Soc. 103, 240; 1923. ETZ 52, 78, 1931. Arch. f. El. 22, 459, 1929. Jhb. d. d. Tel. 34, 207, 1929.